

논문 17-1-11

## 고내열성 광폴리머 표면을 이용한 액정 표시 소자 연구

### Study of Liquid Crystal Device using a High Thermal Photopolymer

황정연<sup>1</sup>, 남기형<sup>1</sup>, 이상민<sup>2</sup>, 서대식<sup>1,a</sup>, 김재형<sup>3</sup>, 서동학<sup>2</sup>

(Jeoung-Yeon Hwang<sup>1</sup>, Ki-Hyung Nam<sup>1</sup>, Sang-Min Lee<sup>2</sup>, Dae-Shik Seo<sup>1,a</sup>, Jae-Hyung Kim<sup>3</sup>, and Dong-Hack Suh<sup>2</sup>)

#### Abstract

We synthesized photoalignment material of high thermal resistance with hydroxyl aromatic polyimide, and studied the liquid crystal (LC) aligning capabilities on the photopolymer layers. Also, electro-optical (EO) performances for the twisted-nematic (TN)-liquid crystal display (LCD) photoaligned with linearly polarized UV exposure were investigated. A good LC alignment with UV exposure on the photopolymer surface can be obtained. However, the low pretilt angles were obtained below 1°. The Voltage-transmittance (V-T) curve without backflow bounce in the photoaligned TN cell with UV exposure was observed. The response time of photoaligned TN cell was measured about 24 ms. Finally, The photoaligned TN cell has few hysteresis, and shows the residual DC voltage that is less.

**Key Words :** High thermal, Photopolymer, Pretilt angle, Voltage-transmittance, Response time

#### 1. 서 론

현재 액정 표시 소자 (LCD)는 PDA, mobile 등 의 소형 액정 표시소자에서 노트북 PC와 직시형 액정 모니터의 중형 크기의 액정소자로 사용되고 있으며, 현재는 52인치 대면적 TV인 대형 크기의 액정표시소자등을 폭넓게 사용되고 있다. 이러한 액정표시소자에서 액정분자의 군집 배향은 표시소자의 표시품질을 좌우하는 중요한 요소중에 하나이다. 현재 양산에 사용되고 있는 러빙처리법[1, 2]은 배향이 안정하며, 공정이 단순하여, 대량생산이 용이하다는 장점을 가지고 있다. 그러나 러빙시 러빙천에 의한 오물, 먼지, 정전기등이 발생하여

LCD 소자의 표시특성을 감소시키는 원인이 되고 있다. 따라서 러빙하지 않는 새로운 배향법 (rubbing-free method)이 요구되고 있다. 이러한 러빙 배향법중에서 광중합 반응을 나타내는 고분자막에 직선편평된 광을 조사하여 어떤 특정한 방향을 향한 분자만을 종합 반응시켜 광학 이방성을 발생시키는 광중합법 [3-6]이 많이 연구되고 있다. 광배향법은 러빙시 문제점을 근본적으로 해결 할 수 있다. 또한 기존 TN(twisted nematic) 액정 표시소자의 좁은 광시야각을 개선하기 위하여, 보상 필름 방식[7], in-plane- switching (IPS) 모드 [8] 그리고 multi domain vertical-alignment (MVA) 모드[9,10] 등이 제안되고 있다. 하지만, 종래 TN 모드보다 수율저하와 제조비용이 증가한다. 그러나 광배향법은 이용시 쉽게 멀티 도메인을 만들 수 있기 때문에 이러한 문제를 간단히 해결할 수 있다.

이러한 광배향막은 광반응을 나타내는 cinnamoly 및 chalcone group을 포함하는 광폴리머를 사용하고 있다. 하지만, 광폴리머는 러빙 배향막보다 열적

1 : 연세대학교 전기전자공학과  
(서울시 서대문구 신촌동 134,

Fax : 02-3147-1351

a : Corresponding Author : dsseo@yonsei.ac.kr)

2 : 한양대학교 공업화학과

3 : 인제대학교 컴퓨터 응용과학부

2003년 7월 18일 접수, 2003년 7월 29일 1차 심사완료,

2003년 8월 4일 최종 심사완료

안전성이 낮다는 단점을 가지고 있다.

그래서 본 연구에서는 광폴리머의 열적 안정성을 향상시키기 위하여 Hydroxyl Aromatic Polyimide을 메인구조로 하고 측쇄기에 광반응기로 사용하는 광폴리머를 합성하였다. 또한, 기존의 광배향막은 배향성과 프리틸트 특성을 중심으로 측정하였으나, 본 연구에서는 광배향막을 이용하여 TN 모드를 제작하고, 광배향 TN 모드의 전기광학 특성을 측정하였다. 특별히, 잔류 DC를 측정하여 액정표시소자로 장시간 구동시 발생하는 문제점에 대해서도 연구하였다.

## 2. 실험

### 2.1 광폴리머 합성

본 연구에서 4-fluorocinnamate 측쇄를 도입한 폴리아미드를 얻기 위해 다음 방법을 사용하였다. 폴리아미드주쇄는 그림 1에 보인 바와 같은 방법으로 합성하였다. 0°C 하에서, 질소 충전된 플라스크에 3,3'-dihydroxy-4,4'-diaminobiphenyl (2.43 g, 11.26 mmol)를 넣고 DMAc (50 mL)를 주입하여 녹인 다음 (4,4'-Hexafluoro-isopropylidene)diphthalic anhydride (6FDA) (5g, 11.26 mmol)를 첨가하였다. 질소 분위기하에서 용액을 상온에서 저어주면 점도가 증가하면서 poly amic acid를 얻게 된다. xylene (50mL)을 첨가하여 6시간동안 160°C에서 ring-closure 반응을 하였다. 메탄올 (1000mL)과 2N HCl(20ml)의 용액을 교반하면서 위에서 얻어진 poly amic acid 용액을 dropwise하였다. 필터하여 갈색의 Hydroxyl polyimide를 얻었다. 이렇게 얻은 polyimide를 THF (100 mL)에 녹인 후 메탄올(1000 mL)과 2 N HCl (10ml)에 재침전 시켜 정제하였다. 정제된 폴리머를 필터후 60°C 진공오븐에서 24시간동안 건조하였다.

질소로 충전된 플라스크에 THF(15 mL)를 넣고 위에서 얻은 Hydroxyl polyimide I (0.31 g, 0.50 mmol of a repeat unit), PPh<sub>3</sub> (0.393 g, 1.50 mmol), and 4-fluorocinnamic acid( 0.183g, 1.10 mmol)를 차례로 녹였다. 위 용액에 Diethyl azodicarboxylate (DEAD, 2.26 g, 1.50 mmol)를 dropwise하였다. 반응물을 48시간 정도 상온에서 교반하였다. 메탄올(300mL)과 2N HCl(5ml)의 용액을 교반하면서 위에서 얻어진 4-fluorocinnamate side-chain polyimide 용액을 dropwise하였다. 필터하여 얻은 polyimide를 THF (30 mL)에 녹인 후 메탄올과 HCl 에 재침전 시켜 정제하였다. 정제된

폴리머를 필터후 60 °C 진공오븐에서 24시간동안 건조하여 4-fluorocinnamate side-chain polyimide를 얻었다.

그림 2에 폴리머의 화학 구조와 중합 개요를 나타내었다.

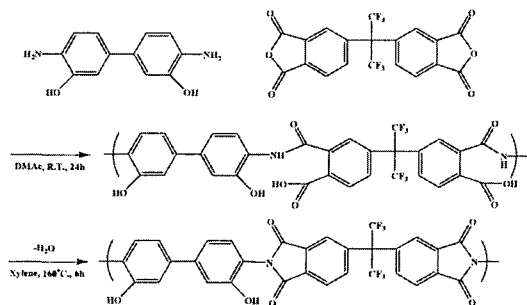


그림 1. hydroxyl aromatic polyimide 골격의 합성 개요.

Fig. 1. Synthesis of hydroxyl aromatic polyimide backbone.

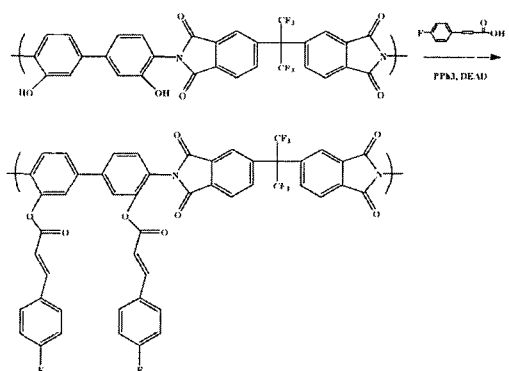


그림 2. 4-fluorocinnamate side-chain polyimide (6FD-F)의 합성개요 및 화학구조.

Fig. 2. Chemical structure and Synthesis of 4-fluorocinnamate side-chain polyimide (6FD-F).

### 2.2 셀 제작

사용한 폴리머는 스판 코팅법을 이용하여 ITO (indium-tin-oxide) 전극 위에 500 Å으로 균일하게 코팅되었으며, 180°C에서 1시간 동안 열처리되었다. 그림 3에 실험에 사용한 편광된 UV 조사 시스템을 나타내었다. 기판 표면에 조사된 UV 광은 1000 W의 Mercury 램프를 사용하였으며, 기판에

서의 UV 에너지 밀도는  $0.25 \text{ mW/cm}^2$  이다. 프리틸트를 측정하기 위하여 액정셀은 샌드위치 형태로 제작하였으며 두께는  $60 \mu\text{m}$ 로 조절하였다. 또한, 전기광학특성을 측정하기 위하여, TN 모드를 제작하였으며, 두께는  $5 \mu\text{m}$ 로 조절하였다. 유전율 이방성( $\Delta \epsilon$ )이 8.4인 네마틱 액정(Merck Co.)을 사용하였다. 광폴리머의 열적 안정성을 평가하기 위하여 TGA(thermo-gravimetric analysis)를 측정하였다. 그리고 액정 배향 상태를 평가하기 위하여 편광 현미경을 이용하였다. 프리틸트각은 결정 회전법을 이용하여 실온에서 측정하였다. 또한, 액정의 전기광학 특성인 전압-투과율, 응답속도, 전류 DC를 측정하였다.

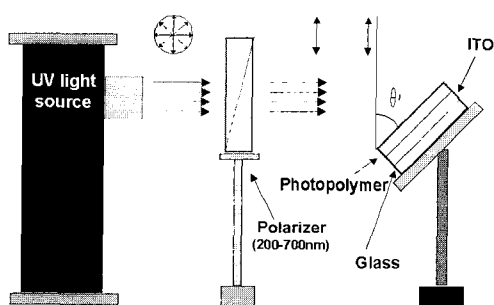


그림 3. UV 조사 시스템.

Fig. 3. UV exposure system.

### 3. 결과 및 고찰

합성된 광폴리머의 열적 특성을 알아보기 위해 thermogravimetric analysis (TGA)로 측정된 값을 그림 4에 나타내었다. 광폴리머는  $450^\circ\text{C}$ 의 온도 범위에서 열분해가 일어나는 것을 알 수 있다.

그림 5에 광폴리머 표면에서의 UV 조사한 액정셀의 편광현미경 사진을 나타내었다. 그림 5 (a)에 나타낸 바와 같이, 광폴리머 표면을 이용한 UV 광배향 셀은 양호한 액정배향을 나타내었다.

그림 6은 광폴리머를 이용한 액정셀의 UV 조사 각도에 따른 프리틸트각을 나타내었다. 그림에서와 같이 UV 조사각도에 관계없이 낮은 프리틸트각을 나타내었다. 이는 광폴리머의 main chain 의 짚이에 비해 side chain의 길이가 짧기 때문에 낮은 프리틸트각을 나타내는 것으로 사료된다.

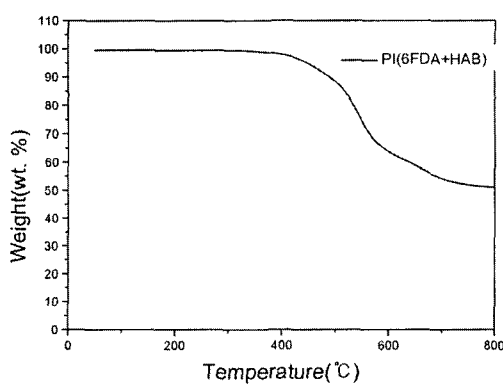
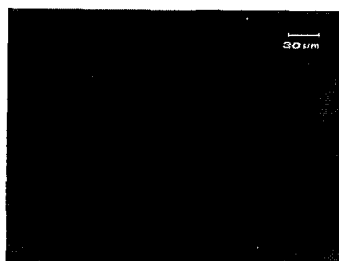
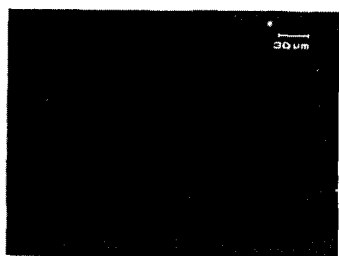


그림 4. 광폴리머의 TGA 특성.

Fig. 4. TGA characteristics of photopolymer.



(a) 광배향



(b) 러빙

그림 5. 액정셀의 편광 현미경 사진 (편광자는 직교상태); (a) 광배향, (b) 러빙.

Fig. 5. Microphotographs of LC cell (in crossed Nicols); (a) photoalignment, (b) Rubbing alignment.

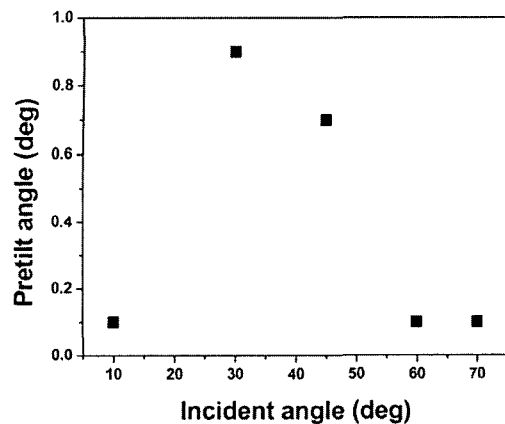


그림 6. 광폴리머 표면에 편광된 UV를 조사시의 조사각도에 따른 네마티ック의 프리틸트 각의 발생.

Fig. 6. Generation of pretilt angles in NLC with UV exposure on the photopolymer surfaces as a function of incident angle.

그림 7은 광폴리머 표면을 이용한 광배향 TN-LCD의 전압-투과율 곡선을 나타내었다. 그림에서와 같이 1분간 UV 조사한 광배향 TN-LCD는 chiral dopant가 첨가되지 않고 제작하였다. 그럼에도 불구하고, 광배향 TN 셀은 안정적인 V-T 곡선을 나타내었다. 그러나 임계치 전압이 약 3(V)로 높게 나타내었다.

그림 8은 광폴리머 표면을 이용한 광배향 TN-LCD의 응답 특성을 나타낸다. 그림에서와 같이 시간이 증가함에 따라 투과율 감소가 없이 투과율이 일정한 응답 특성을 나타내었다. 이러한 현상을 통하여 광배향 TN 셀의 특성이 매우 안정적인 셀임을 알 수 있었다. 또한 광배향 TN 셀의 응답시간은 25 ms로 일반적인 PI 표면을 이용한 러빙 TN 셀과 동등한 응답특성을 나타내었다. 특히 rising 속도가 약 6 ms로 빠른 응답속도를 나타내었다.

그림 9은 광폴리머 표면을 이용한 광배향 TN 셀의 전압-용량특성을 나타내었다. 그림에서와 같이, 광배향 TN 셀의 잔류 DC 값은 0.159 (V)로 작은 값을 나타내었다. 또한 허스테리시스 곡선도 거의 나타나지 않았다. 하지만, 일반적으로 사용되는 폴리이미드 표면을 이용한 러빙 TN 셀과 비교하면 잔류 DC 전압이 약간 큼을 알 수 있었다.

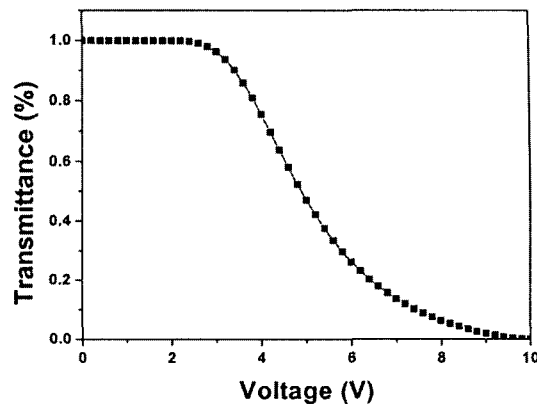


그림 7. 광폴리머 표면을 이용한 광배향 TN-LCD의 V-T 곡선.

Fig. 7. V-T curves of the TN-LCDs photoaligned on the photopolymer surfaces.

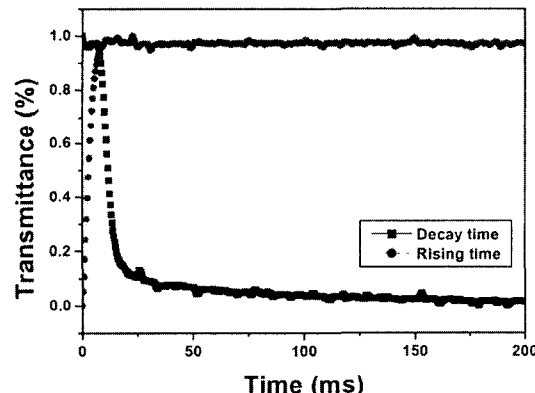


그림 8. 광폴리머 표면을 이용한 광배향 TN-LCD의 응답특성.

Fig. 8. Response time characteristics of the TN-LCDs photoaligned on the photopolymer surfaces.

이러한 잔류 DC 특성은 액정셀의 내부 이온의 영향을 미치는 것으로 생각 할 수 있다. 액정셀 내의 잔류 DC 전압은 배향막 및 액정셀의 조건 등에 크게 의존한다. 그러므로 광폴리머의 조사조건을 최적화하고 광정환경을 개선함으로써 잔류 DC 전압을 러빙 셀의 특성으로 개선할 수 있다.

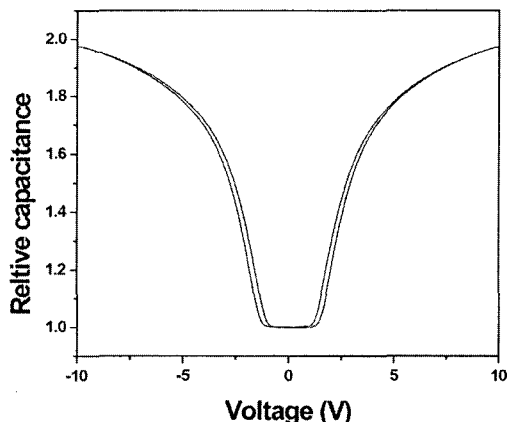


그림 9. 광폴리머 표면을 이용한 광배향 TN-LCD의 C-V 특성.

Fig. 9. Capacitance-voltage characteristics of the photoaligned TN-LCD on the photo-polymer surface.

#### 4. 결 론

본 연구에서는 새로운 광배향막 재료를 합성하였고, 새로운 광폴리머를 이용하여 액정의 배향효과 및 광배향 TN 셀의 전기광학 특성을 검토하였다. 광폴리머를 이용한 액정셀은 양호한 액정배향 특성을 나타내었으며, 1도 이하의 프리틸트각을 나타내었다. 또한 광폴리머를 이용한 광배향 TN 셀은 안정한 V-T 및 응답특성을 나타내었다. 또한, 광배향 TN 셀은 약 24(ms)의 빠른 응답속도를 나타내었다. 또한 광배향 TN 셀은 히스테리시스가 거의 없고, 작은 잔류 DC 전압을 나타내었다.

#### 감사의 글

이 논문은 2003년도 한국학술진흥재단의 지원에 의하여 연구되었음 (KRF-2003-042-D00092)

#### 참고 문헌

- [1] D.-S. Seo, K. Muroi, and S. Kobayashi, "Generation of pretilt angle in nematic liquid crystal, 5CB, media aligned polyimide films prepared by spin-coating and LB techniques : effect of rubbing", Mol. Cryst. Liq. Cryst., Vol. 213, p. 223, 1992.
- [2] D.-S. Seo, N. Yoshida, S. Kobayashi, M. Nishikawa, and Y. Yabe, "Effects of conjugation of mesogenic core of nematic liquid crystals for polar anchoring energy and surface order parameter on rubbed polyimide films", Jpn. J. Appl. Phys., Vol. 33, p. L1174, No 8B, 1994.
- [3] M. Schadt, K. Schmitt, V. Kozinkov, and V. Chigrinov, "Surface-induced parallel alignment of liquid crystals by linearly polarized photopolymers", Jpn. J. Appl. Phys., Vol. 32, No. 7, p. 2155, 1992.
- [4] K. Ichimura, Y. Akita, H. Akiyama, K. Kudo, and Y. Hayashi "Photoreactivity of polymers with regioisomeric cinnamate side chains and their ability to regulate liquid crystal alignment" Macromolecules, Vol. No. 4 30, p. 903, 1997.
- [5] 황정연, 서대식, "새로운 광중합법을 이용한 광배향 TN-LCD의 전기 광학 특성", 전기전자재료학회논문지, 13권, 2호, p. 157, 2000.
- [6] 황정연, 이윤건, 서대식, 김준영, 김태호, "3가지 종류의 치환기를 함유한 N-(phenyl)maleimide 계 광폴리머 표면을 이용한 액정 배향 효과에 관한 연구", 전기전자재료학회논문지, 15권, 3권, p. 264, 2002.
- [7] M. Oh-e and K. Kondo, "Response mechanism of nematic liquid crystal using the in-plane switching mode", Appl. Phys. Lett., Vol. 69, p. 623, 1996.
- [8] Y. Koike, S. Kataoka, T. Sasaki, H. Chida, A. Takeda, K. Ohmuro, T. Sasabayashi, and K. Okamoto, "A vertically aligned LCD providing super-high image quality", IDW'97, p. 159, 1997.
- [9] D.-S. Seo and J.-Y. Hwang, "Viewing angle characteristics using a patterned double twisted vertical-alignment cell mode", Jpn. J. Appl. Phys., Vol 39, p. 914, 2000.
- [10] 황정연, 서대식, 한은주, 김재형, "새로운 VA-1/6π 셀 모드를 이용한 광시야각 특성", 전기전자재료학회논문지, 13권, p. 883, 2000.